

梅津寺海岸における海浜変形について

愛媛大学工学部 正員 痞沼忠男
愛媛大学工学部 正員 伊福誠
愛媛大学大学院 学生員 ○安井祐輝

1. はじめに 松山港の北部に位置する梅津寺海岸は夏には海水浴場として人々に親しまれてきた。しかし昭和33年以降徐々に沖の防波堤が延長されてこゝに伴い、それまで平衡状態を保っていた梅津寺海岸は北部の砂が一方的に南部へ移動し北部の海水浴場の侵食がおこった。愛媛県では養浜を目的として昭和54年6月と同55年6月の二度にわたり南部の砂を北部へ移動したが、その効果が小さかったことから昭和58年6月には6000m³の砂が補給された。また昭和55年12月にはT型梁堤の縦堤が、同57年6月には横堤が築造された(図-1)。このようすから本研究は現地観測に基づいて防砂梁堤築造前後の海浜過程および浮遊砂に関する基礎的資料を得ようとしたものである。

2. 観測方法 図-2のように測線を4本設定し昭和57年1月から同年12月まで3月と7月を除く毎月1回水準測量を行った。なおL-11はつまづて6月より測量を始めた。また12月には各測線上10m間隔で底質の採取を行った。9月にはT型梁堤の北36.35mの位置に約3ヶ月の間新しく製作した捕砂器を設置して浮遊砂を採取した。

3. 解析結果 等高線: 図-2において、2月の等高線はL-6～L-7はいずれも海岸堤防にほぼ平行でT型梁堤が完成するまでこの付近は平行等深線海岸であったと思われる。6月のT型梁堤完成直後ではL-6～L-7は1mの等高線は後退し、2mおよび3mの等高線は前進している。しかしいずれもL-6の沖側へ張り出した形になり、L-10～L-11は1mおよび3mの等高線がL-11の沖側へ張り出した形になりT型梁堤の影響が出はじめている。12月ではL-6～L-7は1m、2mおよび3mの等高線はさらにL-6の沖側へ張り出す。L-10～L-11では1m、2mの等高線は後退し海岸堤防に平行になる。また3mの等高線は消滅している。このように梅津寺海岸においてはT型梁堤完成直後海岸中央部に向ってくぼんだ平面形状を示すが時間の経過とともに北部の侵食が進みT型梁堤の背後の堆積傾向を示すことがわかる。

断面図: 図-3において、2月の断面は10m付近を除くと平均断面より50cm程度低くなっている。断面形状は50m～70mにflatな面をもちそれが岸側、沖側ではだらかに斜面を形成している。6月の断面は20mと40m付近を除いて平均断面より低く20m～35mが崖、35m～50mがridgeを形成している。12月の断面は全域で平均断面より高く20m～30mの間に崖、40m付近でridgeの名残りのようすを示している。しかし断面形状は20m付近にcrestがあるがそれが岸側ではだらかに斜面を形成している。L-6は、堆積傾向によりとくに6月以降20m地点より沖側ではその傾向が顕著である。また変化の割合が大きくなるのは20m～50m付近で、これは大潮付近の満潮時の汀線の位置とほぼ一致している。

主成分分析: 主成分分析法により固有関数、時間関数を求めた。なお解析期間は昭和55年6月から同56年6月

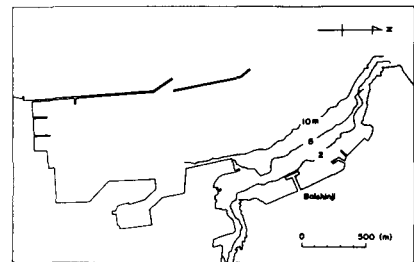


図-1 松山港付近図

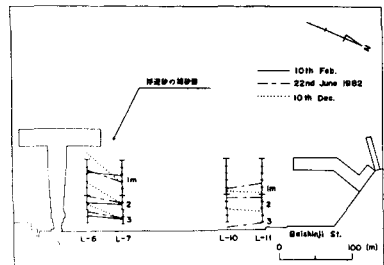


図-2 等高線および捕砂器の設置位置

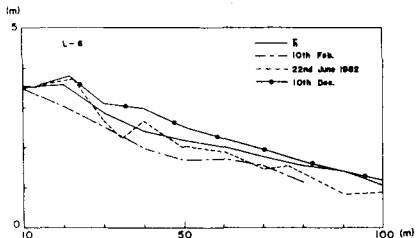


図-3 海浜断面

までの慶媛県の資料および昭和57年1月から同年12月までの観測結果に基づいて昭和55年6月から同57年12月まで主成分分析を行った。図-4(a), (b)をみるとe₁は全域で正であり、30m地点で極大値を示している。C₁は昭和55年12月から同56年6月までおよび同57年6月から8月まで急激な正の勾配を示している。これはそれが昭和55年12月の丁型梁堤の築堤と同56年6月の砂補給、丁型梁堤の横堤築造による堆積傾向とよく対応している。e₂は40m地点で負の極値を示し55mより沖側で正の値となる。C₂は昭和57年5月から6月にかけて急激な負の勾配を示している。e₃は図-3における6月の40m地点の堆積とよく対応している。e₄は20m, 30m地点でそれ正、負の極値となる。C₃は昭和57年1月から6月まで正の勾配を示す。e₅を考慮すると6月にかけての20m付近の堆積に対応するようであるがe₃の寄与率が小さいため顕著にはあらわれていない。e₄, e₅はそれぞれ10m, 40m地点で極値を示す。C₄, C₅は短周期で変動している。以上のことから図-4は断面全体の変動、e₂は比較的大きな局所的変動を表しているようである。e₃～e₅は図-3における変動量の比較的大きい20m～50mの位置に極値をもつことから大潮附近の満潮干線に関与するのではないかと思われる。また防砂梁堤の影響はC₁に顕著にあらわれているようである。

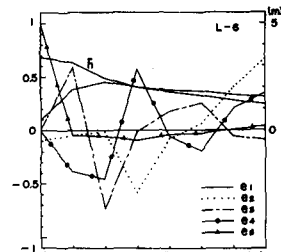
底質: 昭和57年12月に各測線上10mごとに底質を採取した。

採取した底質の岸沖方向の中央粒径は20m～50m付近で粗砂であるのを除けば細砂であり沖では粒径が小さくなる傾向である。また100m地点では各測線とも中央粒径は0.2mm程度である。

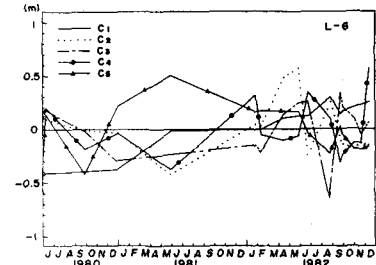
浮遊砂: 新しく製作した捕砂器は上部および下部からより海底よりそれ0.85m, 0.64mの位置に採取口がある。なお設置地点での平均水深は1.55m, 最高潮時が2.31m, 最低潮時が0.66mであった。また粒度分析の際用いたふるいは0.84mm, 0.42mm, 0.25mm, 0.105mmおよび0.074mmであった。図-5

図-5 粒度分析結果

は採取した浮遊砂の方別別の総重量、粒径0.105mm以下の重量およびその百分率、中央粒径を示したものである。これによると上部の総重量はいずれの方向でも下部より少く各方向を平均すると下部の約36%であるが、上部の粒径0.105mm以下の重量は下部の約60%, 0.105mm～0.84mmの重量は約30%である。このことは粒径の小さい底質が海底の擾乱によって水面近くまで浮遊することを表している。上部および下部で採取した浮遊砂の中央粒径はそれぞれ0.149mm～0.156mm, 0.157mm～0.167mmであり、上部の中央粒径は下部のそれよりも大きい。また上部、下部とも沖で採取した浮遊砂の中央粒径は岸のそれより大きい。沿岸方向をみると、上部では南側で採取した浮遊砂の中央粒径は北側よりも大きく、下部は上部の逆にになっている。また粒度分析は上記5個のふるいを用いて行われたが、鷹見(1932), Rubeyや荷田・伊福(1982)が得た実験結果によると、0.105mmを境にして沈降速度の大きさにかけの差があり、捕砂量に浮遊時間が影響しているものと思われる。方向別にみると上部、下部とも岸沖方向の浮遊砂が沿岸方向のそれに卓越している。岸沖方向を比べると上下とも沖側の捕砂量が岸側のそれの約1.3倍であるが、粒径0.105mm以下の重量百分率は岸側が若干大きい。このことから岸向きに粒径0.105mm以上の粗い砂が、沖向きに比較的小粒径の細い砂が輸送される傾向があることがわかる。沿岸方向は下部は北側から上部は南側からの捕砂量が多く上部と下部で沿岸方向の浮遊砂の移動方向が違うものと思われる。

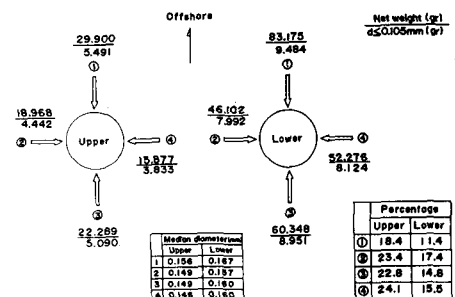


(a)



(b)

図-4(a),(b) 固有関数および時間関数



浮遊砂